

ИЗМЕНЕНИЕ ТЕМПЕРАТУРЫ СВЕРХПРОВОДЯЩЕГО ПЕРЕХОДА В СИСТЕМЕ $\text{Cu}_{1,8-x}\text{Ni}_x\text{Mo}_6\text{S}_8$

Н.Е.Алексеевский, Н.А.Тихонова, Е.П.Хлыбов

Было исследовано влияние примеси Ni на температуру сверхпроводящего перехода T_c $\text{Cu}_{1,8}\text{Mo}_6\text{S}_8$ в системе $\text{Cu}_{1,8-x}\text{Ni}_x\text{Mo}_6\text{S}_8$. В отличие от зависимости $T_c(X)$ для соединенный SnMo_6S_8 с Fe, зависимость $T_c(X)$ для $\text{Cu}_{1,8-x}\text{Ni}_x\text{Mo}_6\text{S}_8$ сильно отличается от теоретической зависимости Абрикосова – Горькова. Полученные результаты обсуждаются.

Ранне уже сообщалось, что ферромагнитные примеси понижают критическую температуру T_c сверхпроводящих сульфидов молибдена, имеющих структуру фазы Шевреля¹. В² было рассмотрено влияние примеси железа на T_c SnMo_6S_8 . При этом было обнаружено, что зависимость $T_c(X)$ для $\text{Fe}_x\text{SnMo}_6\text{S}_8$ может быть удовлетворительно описана формулой Абрикосова – Горькова (АГ), а критическая концентрация оказывается равна $X_{\text{кр}} = 0,06$. При введении небольших количеств железа наблюдалось усиление влияния давления на T_c . Критическая концентрация, определенная из опытов по уменьшению T_c с давлением, также была примерно равна $X_{\text{кр}} = 0,06$, а зависимость $T_c(P)$ была подобна $T_c(X)$.

Представляло интерес исследовать изменение T_c при легировании сверхпроводящих фаз Шевреля никелем. Для этой цели было выбрано соединение $\text{Cu}_{1,8}\text{Mo}_6\text{S}_8$, образующее с $\text{Ni}_{1,8}\text{Mo}_6\text{S}_8$ непрерывный ряд твердых растворов. Зависимость $T_c(X)$ для $\text{Fe}_x\text{Cu}_{1,8}\text{Mo}_6\text{S}_8$ была нами рассмотрена ранее (см., например,³). В этом случае величина $(\partial/\partial X)(T_c/X/T_{c0})$ составляла 5,0.

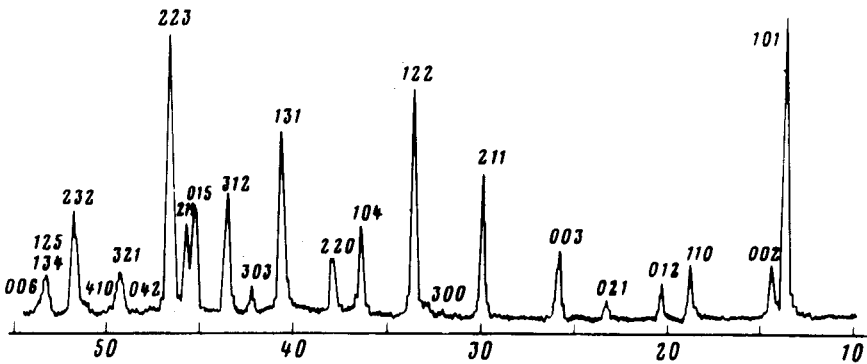


Рис. 1. Дифрактограмма образца $\text{Cu}_{1,1}\text{Ni}_{0,7}\text{Mo}_6\text{S}_8$ (излучение $\text{CuK}\alpha$, $\lambda = 1,541 \text{ \AA}$)

Синтез образцов проводился обычным методом, применявшимся нами ранее (см., например,⁴). Отжиг образцов после синтеза проводился при 1000°C . В том случае, если температура отжига равнялась 900°C , на рентгенограмме присутствовали линии MoS_2 , то время как образцы, отжигавшиеся при 1000°C , были практически однофазными. На рис. 1 приведена дифрактограмма, полученная на образце $X = 0,70$. Съемка проводилась на дифрактометре "Гейгерфлекс" (излучения $\text{CuK}\alpha$, $\lambda = 1,541 \text{ \AA}$). Образцы имели форму дисков диаметром 9 мм и толщиной ~ 1 мм, и параллелепипедов размером $0,5 \times 1,5 \times 4,5 \text{ мм}^3$. Для измерения T_c использовались как индуктивный, так и потенциометрический метод, при этом образцы монтировались в держатель, который при работе в области температур выше $4,2$ вставлялся в транспортный дьюар. Для измерений в области температур ниже $1,4\text{K}$

использовался прибор с адиабатическим размагничиванием эрбий-итрий алюминиевого граната, подобный описанному в ⁵. В этом случае, измерения T_c велись по изменению сопротивления, а температура определялась по магнитной восприимчивости граната.

На рис. 2 приведена зависимость $T_c(X)$. Из приведенного рисунка видно, что зависимость T_c от концентрации никеля отличается от зависимости АГ. С другой стороны, для исследованной системы нами обнаружено уменьшение объема гексагональной ячейки V_H при увеличении X , подобное наблюдавшемуся ранее для образцов $\text{Cu}_{1,8}\text{Mo}_6\text{S}_8$, полученных при синтезе в камере высокого давления ⁶. В связи с этим можно допустить, что на зависимость $T_c(X)$ могут влиять два фактора: рассеяние куперовских пар на атомах никеля и уменьшение V_H . Если считать, что оба эти фактора действуют независимо, то T_c можно представить в виде $T_c = f(X) + f(V_H)$. Оценивая влияние V_H на T_c из данных ⁶ по зависимости $T_c(V_H)$ для $\text{Cu}_{1,8}\text{Mo}_6\text{S}_8$, можно из экспериментальной кривой $T_c(X)$ вычесть увеличение T_c , которое могло бы происходить за счет уменьшения V_H , и тогда $T_c(X)$ можно аппроксимировать кривой 2 на рис. 2. Эта кривая проходит несколько ближе от зависимости АГ, однако, и в этом случае она сильно отличается от последней. При исследовании температурной зависимости сопротивления обнаружено, что уже при $X = 0,15$ максимум, связанный со структурным переходом $\text{Cu}_{1,8}\text{Mo}_6\text{S}_8$, на кривой $\rho(T)$ смещается в область низких температур. Он, однако, не исчезает вплоть до самых больших значений X , т. е. до $X = 1,8$.

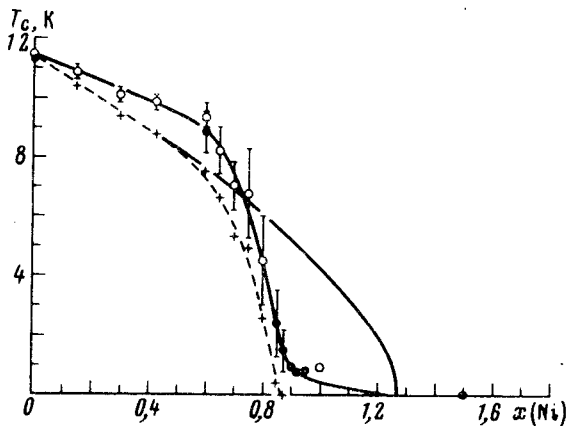


Рис. 2. Зависимость температуры сверхпроводящего перехода T_c от концентрации Ni: 1 — экспериментальная кривая (вертикальные отрезки: определяют ширину сверхпроводящего перехода), 2 — зависимость $T_c(X)$ с учетом корреляции между T_c и объемом гексагональной ячейки V_H , 3 — теоретическая зависимость Абрикосова — Горькова

Как видно из кривой 1 рис. 2 в области $X = 0,6 \div 0,8$ ширина кривых перехода в сверхпроводящее состояние составляет $\approx 2\text{K}$, т. е. существенно превышает значения этой величины при $X < 0,3$ и $X > 0,8$, где она, как правило, не превышает $0,1\text{K}$.

Следует заметить, что уширение кривых перехода в области этих концентраций наблюдалось на трех сериях образцов. При этом дифрактограммы, полученные на таких образцах, не дают основания предполагать, что существуют какие-либо перестройки в решетках этих систем в области концентраций $X = 0,7 \div 0,9$ (линии достаточно узкие и ширина дифракционных линий не коррелирует с шириной перехода). При увеличении концентрации выше $0,9$, ширина кривых перехода, снятых в области сверхнизких температур, получаемых методом адиабатического размагничивания ⁵, вновь уменьшается. К сожалению, дать однозначного объяснения такому поведению образцов в этой области концентраций ($X = 0,7 \div 0,9$) пока не представляется возможным.

Если сравнить зависимость $T_c(X)$, полученную в данной работе, с соответствующей зависимостью, полученной для образцов SnMo_6S_8 и $\text{Cu}_{1,8}\text{Mo}_6\text{S}_8$ с примесью Fe^{2+3} , то следует отметить, что если в случае примеси Fe в SnMo_6S_8 и $\text{Cu}_{1,8}\text{Mo}_6\text{S}_8$ величина $\partial T_c / \partial X$

весьма велика¹⁾, то для концентраций $X < 0,6$ в случае Ni в $\text{Cu}_{1,8}\text{Mo}_6\text{S}_8$ эта величина почти на порядок меньше. Ход зависимости $T_c(X)$, как отмечалось выше, в случае примеси Fe в SnMo_6S_8 , может быть достаточно хорошо согласован с формулой АГ, в то время как в случае примеси Ni в $\text{Cu}_{1,8}\text{Mo}_6\text{S}_8$, кривая зависимости $T_c(X)$ не только существенно сдвинута в область больших по сравнению с Fe концентраций, но и по своему характеру весьма сильно отличается от зависимости АГ.

Не исключено, что в случае легирования $\text{Cu}_{1,8}\text{Mo}_6\text{S}_8$ никелем, основное влияние на изменение T_c оказывает немагнитное рассеяние (рассеяние без переворота спина), и примесь Ni в данном случае ведет себя так же, как дефекты в пленках некоторых соединений (см., например, ⁷⁾). Это подтверждается характером зависимости $T_c(\rho_{300}/\rho_{0\text{СТ}})$. Нельзя однако полностью исключить, что в случае примеси Ni влияние слабого "магнитного" рассеяния²⁾ может усиливаться за счет суперпозиций с немагнитным рассеянием. Такое немагнитное рассеяние могло бы, уменьшая длину свободного пробега, увеличить эффективность взаимодействия с магнитными примесями. Если построить зависимость $\rho_{0\text{СТ}}(X)$, то оказывается, что эта зависимость является существенно нелинейной функцией X . В случае $\text{Cu}_{1,8-x}\text{Ni}_x\text{Mo}_6\text{S}_8$ мы находимся в области относительно больших концентраций примеси, в отличие от соединений SnMo_6S_8 с примесью Fe.

Дальнейшие исследования позволят, вероятно, найти более точное объяснение полученной зависимости $T_c(X)$ для системы $\text{Cu}_{1,8-x}\text{Ni}_x\text{Mo}_6\text{S}_8$, особенно для области концентраций $X = 0,7 \div 0,9$, где наблюдается довольно резкий спад T_c с ростом X .

Литература

1. Fisher Φ . Appl. Phys., 1978, 16, 1; Alekseevskii N.E. Cryogenics, 1980, 20, 257.
2. Алексеевский Н.Е., Нарожный В.Н., Хлыбов Е.П. ЖЭТФ, 1983, 84, 1538.
3. Алексеевский Н.Е., Вольф Г., Добровольский Н.М., Ельцев Ю.Ф., Закозаренко В.М., Цебро В.И. Письма в ЖЭТФ, 1979, 29, 138.
4. Алексеевский Н.Е., Добровольский Н.М., Цебро В.И. Письма в ЖЭТФ, 1974, 20, 59.
5. Alekseevskii N.E., Dodokin A.P., Bazan C., Bagdasarov Kh.S., Fedorov E.A., Belyaev L.M. Cryogenics, 1981, 10, 598.
6. Alekseevskii N.E., Khlybov E.P., Novokshonov V.I., Evdokimova V.V., Kozintzev V.M., Mitin A.V. J. Low Temp. Phys., 1982, 47, 169.
7. Testardi L.R., Poate J.M., Levinstein H.J. Phys. Rev., 1977, B15, 2570.

Институт физических проблем
Академии наук СССР

Поступила в редакцию
24 июня 1983 г.

¹⁾ Как отмечено в ³⁾, $\partial T_c / \partial X$ для примеси Fe зависит от величины электронной теплоемкости, и для $\text{Fe}_x\text{SnMo}_6\text{S}_8$ $\partial T_c / \partial X$ почти в четыре раза больше, чем для $\text{Fe}_x\text{Cu}_{1,8}\text{Mo}_6\text{S}_8$.

²⁾ Небольшая часть атомов Ni может сохранять свой магнитный момент, что приводит лишь к незначительному росту восприимчивости образца.